

УДК 539.3

## ЭКСПЕРИМЕНТАЛЬНОЕ ИССЛЕДОВАНИЕ ПРОЦЕССОВ СЛОЖНОГО ДЕФОРМИРОВАНИЯ МАТЕРИАЛА СТ45 НА МНОГОЗВЕННЫХ ТРАЕКТОРИЯХ<sup>\*)</sup>

**В.Г. Зубчанинов, В.И. Гультьяев, Д.В. Зубчанинов**

*Тверь*

Представлены результаты экспериментального исследования механических свойств материала СТ45 при сложном деформировании по плоским четырехзвенным траекториям с учетом сложного разгружения материала.

В статье представлены результаты экспериментального исследования напряженно-деформированного состояния цилиндрической оболочки при растяжении с кручением в пространстве деформаций по четырехзвенной плоской ломаной траектории. Стальной трубчатый образец имел толщину стенки  $h = 1$  мм, радиус срединной поверхности  $R = 15,5$  мм, длину рабочей части  $l = 110$  мм. Материал образцов в достаточной степени начально изотропен, модуль упругости  $E = 2 \cdot 10^5$  МПа, коэффициент Пуассона  $\mu = 0,3$ ; предел текучести при одноосном растяжении  $\sigma_t = 330$  МПа,  $\sigma_t = \sqrt{2/3}\sigma_t = 270$  МПа. При обработке экспериментальных данных принималось условие несжимаемости ( $\epsilon_0 = 0$ ).

Программа испытаний реализовывалась в векторном пространстве деформаций в плоскости  $\vartheta_1\vartheta_3$  (рис. 1).

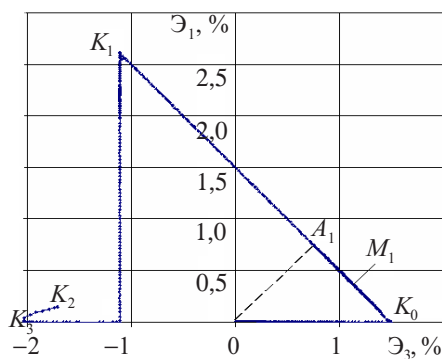


Рис. 1

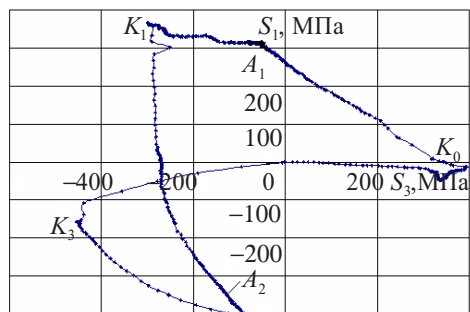


Рис. 2

Соответствующий ей отклик реализовывался в плоскости  $S_1S_3$  векторного пространства девиатора напряжений (рис. 2). Компоненты векторов напряжений и деформаций и их модулей в девиаторных подпространствах напряжений и деформации вычислялись по формулам:

<sup>\*)</sup> Статья выполнена при поддержке грантом РФФИ № 05-08-01442а.

$$S_1 = \sqrt{\frac{2}{3}} \left( \sigma_{11} - \frac{1}{2} \sigma_{22} \right), \quad S_2 = \frac{\sigma_{22}}{\sqrt{2}}, \quad S_3 = \sqrt{2} \sigma_{12}, \quad (1)$$

$$\Theta_1 = \sqrt{\frac{3}{2}} (\varepsilon_{11} - \varepsilon_0), \quad \Theta_2 = \sqrt{2} \left( \varepsilon_{22} + \frac{1}{2} \varepsilon_{11} - \frac{3}{2} \varepsilon_0 \right), \quad \Theta_3 = \sqrt{2} \varepsilon_{12},$$

$$\sigma = \sqrt{S_1^2 + S_2^2 + S_3^2}, \quad \Theta = \sqrt{\Theta_1^2 + \Theta_2^2 + \Theta_3^2}, \quad (2)$$

где  $\sigma_{ij}$ ,  $\varepsilon_{ij}$  ( $i, j = 1, 2, 3$ ) – компоненты тензоров напряжений и деформации [1, 2].

Особенность программы состояла в том, что после простого деформирования кручением до уровня  $\Theta = \Theta_3 = 1,5\%$  производился излом траектории деформирования на угол  $135^\circ$ , после чего происходило сложное разгружение образца. После излома траектории в точке  $K_0$  образец подвергался одновременному действию кручения и растяжения материала до точки  $K_1$ . При этом образец разгружался локально кручением до  $\Theta_3 = -1\%$  при одновременном локальном увеличении деформации растяжения до уровня  $\Theta_1 = 2,5\%$ . После второго излома траектории в точке  $K_1$  образец разгружался сжатием до точки  $K_2$  до уровня  $\Theta_1 = 0\%$  при постоянном значении  $\Theta_3 = -1\%$ . После третьего излома в точке  $K_2$  траектории деформирования на угол  $90^\circ$  образец снова закручивался до  $\Theta_3 = -2\%$  при постоянном  $\Theta_1 = 0$  (точка  $K_3$ ), после чего разгружался из точки излома  $K_3$  до  $S_3 = 0$  и  $S_1 = 0$  (см. рис. 1, 2).

На рис. 3, 4 представлены глобальная диаграмма деформирования материала  $\sigma$ – $\Theta$  и диаграмма прослеживания процесса нагружения  $\sigma$ – $s$ , где  $s$  – длина дуги траектории деформирования; на рис. 5, 6 – локальные диаграммы деформирования  $S_1$ – $\Theta_1$ ,  $S_3$ – $\Theta_3$ .

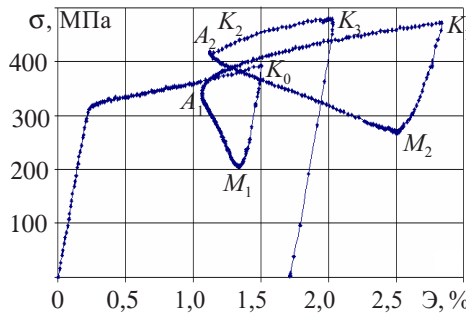


Рис. 3

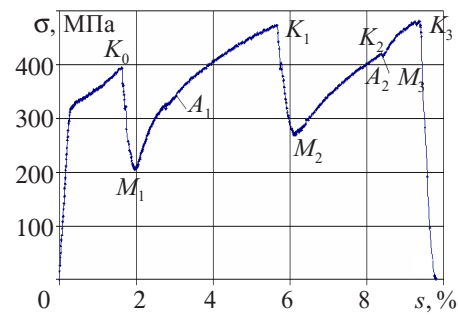


Рис. 4

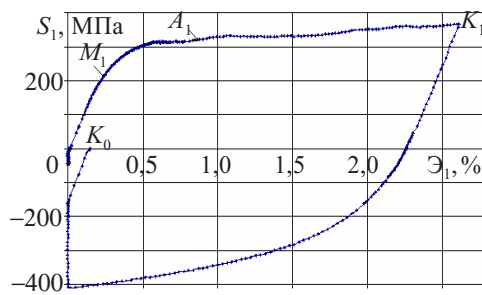


Рис. 5

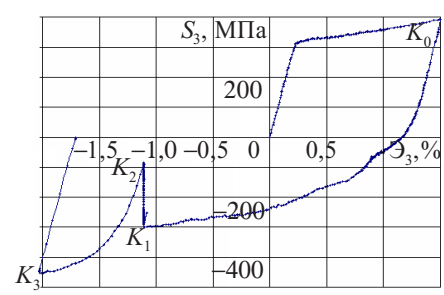


Рис. 6

После каждого излома траектории в точках  $K_0, K_1, K_2, K_3$  на диаграмме деформирования (см. рис. 3) наблюдались обратные "нырки" напряжений, а на диаграмме прослеживания процесса нагружения (см. рис. 4) имели место прямые "нырки" напряжений [4]. Точками  $M_1, M_2, M_3$  отмечены на "нырках" точки, в которых достигался  $\sigma_{\min}$ . На ниспадающих участках "нырков"  $K_{i-1} - M_i$  ( $i = 1, 2, 3$ ) происходила частичная упругая разгрузка при пассивном процессе деформирования ( $dA_\phi < 0, \vartheta_1 > \pi/2$ ), а на восходящих участках – неполное упругопластическое деформирование при активном процессе деформирования ( $dA_\phi > 0, \vartheta_1 > \pi/2$ ),  $dA_\phi$  – приращение элементарной работы деформации формоизменения,  $\vartheta_1$  – угол сближения между вектором напряжений и касательным вектором к траектории деформации. Граница между активным и пассивным процессами деформирования примерно соответствовала точкам, где  $\sigma = \sigma_{\min}$ . Процесс пассивного нагружения–разгружения ( $dB_\phi > 0, \pi/2 \leq \vartheta_1^* \leq \pi$ ) реализовывался на участках  $K_{i-1} - A_i$  ( $i = 1, 2, 3$ );  $dB_\phi$  – приращение элементарной дополнительной работы напряжений,  $\vartheta_1^*$  – угол сближения между вектором деформаций и касательной к траектории нагружения. Это участки сложного разгружения материала. В точках  $A_i$  происходила смена пассивных процессов нагружения на активные ( $dB_\phi > 0, 0 \leq \vartheta_1^* \leq \pi/2$ ).

На рис. 7 изображен график поведения угла сближения  $\vartheta_1$  в процессе деформирования материала. Для определения угла  $\vartheta_1$  использовалась формула

$$\cos \vartheta_1 = \frac{1}{\sigma} \left( S_k \frac{d\varTheta_k}{ds} \right) \quad (k = 1, 2, 3). \quad (3)$$

Стрелками на рис. 7 указаны характерные точки смены состояний деформирования. В точках  $A_i$  окончания сложной разгрузки  $dA_\phi = 0, \vartheta_1 = \pi/2, dB_\phi = 0, \vartheta_1^* = \pi/2$ .

На рис. 8 показана диаграмма прослеживания процесса деформирования  $\dot{\Sigma} - \Sigma$ , где  $\Sigma$  – длина дуги траектории нагружения. На этой диаграмме участки  $K_0 - A_1, K_1 - A_2$  отвечают пассивным процессам нагружения, то есть сложной разгрузке материала. Соответствующие "нырки"  $K_0A_1K_1, K_1A_2K_2$  названы В.Г. Зубчаниновым "нырками" деформации [4].

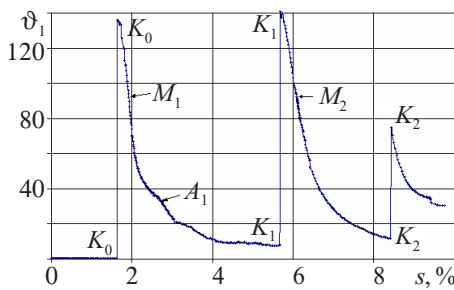


Рис. 7

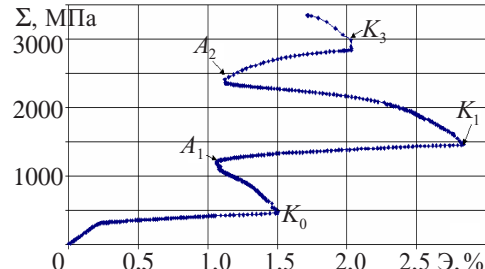


Рис. 8

Таким образом, сложная разгрузка материала описывается "нырками" напряжений и деформаций  $K_{i-1} - A_i$  по терминологии, введенной В.Г. Зубчаниновым в работе [4]. "Нырок" напряжений состоит из участка частичной упругой разгрузки и участка неполного упругопластического додружения и в целом не описывается линейным законом разгрузки. "Нырок" деформаций дает закон сложной разгрузки в целом и приближенно может быть аппроксимирован линейной зависимостью.

### *Литература*

1. Зубчанинов, В.Г. Математическая теория пластичности / В.Г. Зубчанинов. – Тверь: ТГТУ, 2002. – 300 с.
2. Зубчанинов, В.Г. Механика сплошных деформированных сред / В.Г. Зубчанинов. – Тверь: ТГТУ, 2002. – 703 с.
3. Зубчанинов, В.Г. Основы теории упругости и пластичности / В.Г. Зубчанинов. – М.: Высшая школа, 1990. – 368 с.
4. Зубчанинов, В.Г. Об активных и пассивных процессах сложного нагружения-разгружения в теории пластичности / В.Г. Зубчанинов // Современные проблемы термовязкопластичности: Труды 2-й школы-семинара. – М.: МГТУ "МАМИ", 2007. – С. 9–18.
5. Зубчанинов, В.Г. Экспериментальное исследование процессов сложного нагружения материалов на многозвенных траекториях / В.Г. Зубчанинов, В.И. Гульяев, Д.В. Зубчанинов // Современные проблемы термовязкопластичности: Труды 2-й школы-семинара. – М. МГТУ "МАМИ", 2007. – С. 3–8.

[06.07.2007]

### **EXPERIMENTAL INVESTIGATION OF COMPLEX DEFORMATION PROCESSES IN THE CT45 STEEL ON MULTY-SECTION PATHS**

**V.G. Zubchaninov, V.I. Gul'tyayev, D.V. Zubchaninov**

The paper presents the results of the experimental study of mechanical properties of the CT45 steel under complex deformation along plane four-section paths, accounting for complex unloading of the material.